

บทที่ 4

ผลการวิจัย

ตอนที่ 1 วิธีการเตรียมจีโนมิกดีเอ็นเอที่เหมาะสม

1. การสกัดจีโนมิกดีเอ็นเอจากเนื้อเยื่อปลาการ์ตูนอานม้า

ผลการสกัดดีเอ็นเอจากตัวอย่างปลาการ์ตูนอานม้า ด้วยวิธีสกัดที่แตกต่างกัน 4 วิธี ได้แก่ 1) ชุดสกัด GF-1 Tissue DNA Extraction Kit 2) PCR- ready genomic DNA 3) Chloroform และ 4) Guanidine Thiocyanate หลังจากละลายตะกอนดีเอ็นเอ แล้วทำอิเล็กโทรโฟริสิสบนเจลอะกาโรสความเข้มข้น 1% ความยาวของเจล 10 เซนติเมตร โดยใช้กระแสไฟฟ้าที่ความต่างศักย์ 100 โวลต์ ระยะเวลา 30 นาที พบว่าดีเอ็นเอที่สกัดได้จากแต่ละวิธีมีขนาดมากกว่า 12 กิโลเบส แสดงในภาพที่ 4-1 เมื่อเปรียบเทียบกับดีเอ็นเอมาตรฐาน 1 Kb plus DNA Ladder (M₁) แต่ดีเอ็นเอที่เตรียมจากวิธี PCR- ready genomic DNA ไม่ปรากฏแถบ (ช่อง 3-4) ส่วนดีเอ็นเอที่ได้จากการสกัดด้วย Chloroform (ช่อง 5-6) และ Guanidine Thiocyanate (ช่อง 7-8) มีการขาดของดีเอ็นเอเล็กน้อย ซึ่งปรากฏเป็นลักษณะแถบขาว (smear)

การวิเคราะห์ปริมาณดีเอ็นเอด้วยเครื่องสเปกโตรโฟโตมิเตอร์

เมื่อนำสารละลายดีเอ็นเอที่สกัดได้จากทั้ง 4 วิธี ไปวิเคราะห์ปริมาณและคุณภาพด้วยเครื่องสเปกโตรโฟโตมิเตอร์ที่ความยาวคลื่น 260 และ 280 นาโนเมตร จากนั้นคำนวณหาปริมาณดีเอ็นเอและนำผลที่ได้มาเปรียบเทียบทั้งคุณภาพและปริมาณของตัวอย่างแช่แข็งกับตัวอย่างที่เก็บรักษาในเอทานอล 100% รวมถึงระยะเวลาในการเตรียม สามารถสรุปได้ดังตารางที่ 4-1, ภาพที่ 4-3 และภาพที่ 4-4 คือ ดีเอ็นเอจากตัวอย่างแช่แข็งที่สกัดด้วยชุดสกัด GF-1 Tissue DNA Extraction Kit มีค่าความบริสุทธิ์มากที่สุดคือ 1.700 ± 0.274 และดีเอ็นเอจากตัวอย่างที่แช่ในเอทานอล 100% ที่สกัดด้วย Guanidine Thiocyanate มีค่าความบริสุทธิ์น้อยที่สุด คือ 1.406 ± 0.108 และเมื่อเปรียบเทียบปริมาณดีเอ็นเอที่ได้จากแต่ละวิธีพบว่า การสกัดด้วยวิธี PCR- ready genomic DNA จากตัวอย่างที่แช่ในเอทานอล ให้ปริมาณดีเอ็นเอมากที่สุดคือ $5.309 \pm 0.135 \mu\text{g}/\text{เนื้อเยื่อ } 10 \text{ mg}$ แต่ตัวอย่างแช่แข็งที่สกัดด้วย Chloroform ได้ปริมาณดีเอ็นเอน้อยที่สุดคือ $0.256 \pm 0.192 \mu\text{g}/\text{เนื้อเยื่อ } 10 \text{ mg}$

2. การเพิ่มปริมาณดีเอ็นเอในส่วนที่ยีนหรือบริเวณต่างๆ ด้วยเทคนิคพีซีอาร์

การตรวจสอบดีเอ็นเอที่สกัดได้จากทั้ง 4 วิธี ในเชิงคุณภาพนั้น ได้ทำการเพิ่มปริมาณดีเอ็นเอด้วยเทคนิคพีซีอาร์ในบริเวณยีน ND4-ND5, 16S rRNA และ ITS-1 พบว่าผลิตภัณฑ์พีซีอาร์จากการสกัด 4 วิธีของปลาการ์ตูนอานม้าทุกตัวอย่าง ให้ผลเหมือนกันคือ มีขนาดประมาณ 900, 650 และ 600 คู่เบส ในแต่ละบริเวณที่เพิ่มจำนวน ตามลำดับ ผลิตภัณฑ์พีซีอาร์ที่ได้จาก 4 วิธี คือ

- 1) ชุดสกัด GF-1 Tissue DNA Extraction Kit
- 2) PCR- ready genomic DNA
- 3) Chloroform และ
- 4) Guanidine Thiocyanate แสดงดังภาพที่ 4-2 (a-d) ตามลำดับ (แสดงเพียงบางตัวอย่าง)

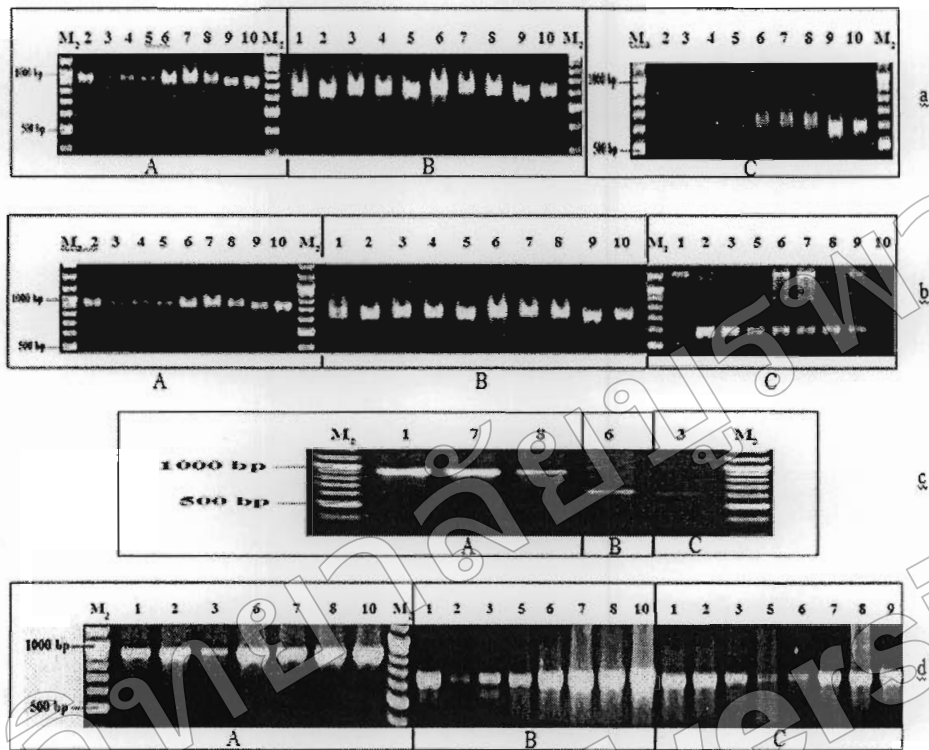


ภาพที่ 4-1 แถบดีเอ็นเอของเนื้อเยื่อปลาการ์ตูนอานม้าที่เก็บรักษาด้วยวิธีแช่แข็งและแช่ในเอทานอลแล้วสกัดได้จาก 4 วิธี

- | | |
|---------------------|---|
| ช่อง M ₁ | คือ 1 Kb plus DNA Ladder |
| ช่อง 1-2 | คือ ดีเอ็นเอจากชุดสกัด GF-1 Tissue DNA Extraction Kit |
| ช่อง 3-4 | คือ ดีเอ็นเอจากวิธี PCR- ready genomic DNA |
| ช่อง 5-6 | คือ ดีเอ็นเอจากการสกัดด้วย Chloroform |
| ช่อง 7-8 | คือ ดีเอ็นเอจากการสกัดด้วย Guanidine Thiocyanate |

หมายเหตุ: ช่อง 1, 3, 5 และ 7 เป็นตัวอย่างแช่แข็ง

ช่อง 2, 4, 6 และ 8 เป็นตัวอย่างที่แช่ในเอทานอล 100%



ภาพที่ 4-2 แถบดีเอ็นเอของผลิตภัณฑ์ซีอาร์ของปลาการ์ตูนอานม้าในบริเวณยีน ND4-ND5, 16S rRNA และ ITS-1 (A, B และ C ตามลำดับ) โดยสกัดดีเอ็นเอด้วยชุดสกัด GF-1 Tissue DNA Extraction Kit (a), PCR- ready genomic DNA (b), Chloroform (c) และ Guanidine Thiocyanate (d)

ช่อง M₂ คือ 100 bp DNA Ladder Plus

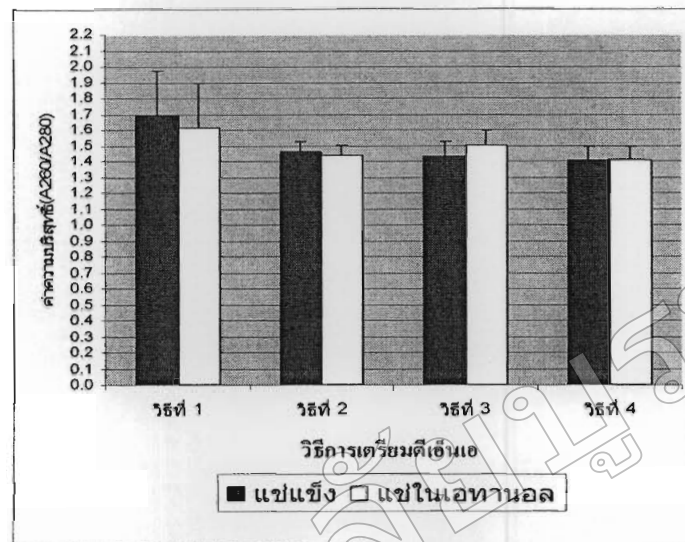
ช่อง 1-5 คือ ตัวอย่างปลาการ์ตูนอานม้าที่เก็บด้วยวิธีแช่แข็ง

ช่อง 6-10 คือ ตัวอย่างปลาการ์ตูนอานม้าที่แช่ในเอทานอล 100%

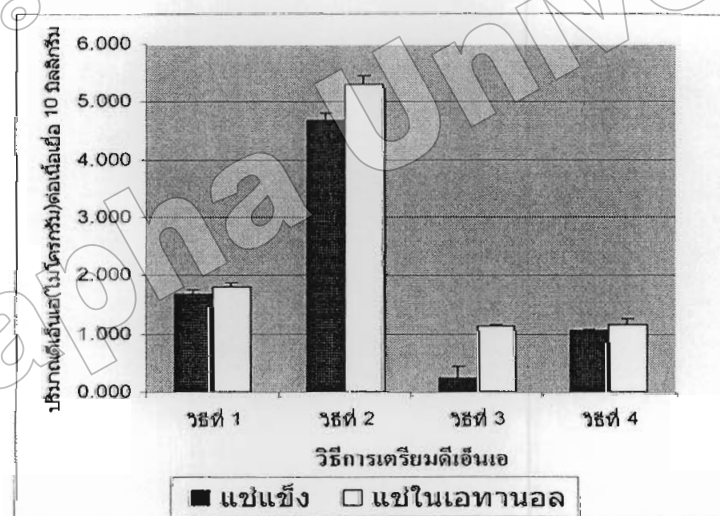
ตารางที่ 4-1 เปรียบเทียบปริมาณ คุณภาพของดีเอ็นเอ และระยะเวลาที่ใช้ในการสกัดดีเอ็นเอ

| วิธีสกัดดีเอ็นเอ | ความบริสุทธิ์ (A_{260}/A_{280}) | ปริมาณดีเอ็นเอ ($\mu\text{g}/\text{เนื้อเยื่อ}$ 10 mg) | ระยะเวลา ในการสกัด | ผลของ ปฏิกิริยา PCR | | |
|---|--|---|-----------------------|------------------------|----------|-------|
| | | | | ND4-ND5 | 16S rRNA | ITS-1 |
| ชุดสกัด GF-1 Tissue DNA Extraction Kit | | | | | | |
| | | | 45 นาที | | | |
| - ตัวอย่างแช่แข็ง | 1.700 ± 0.274 | 1.697 ± 0.067 | | + | + | + |
| - ตัวอย่างแช่ในเอทานอล | 1.620 ± 0.125 | 1.809 ± 0.067 | | + | + | + |
| PCR- ready genomic DNA | | | | | | |
| | | | 25 นาที | | | |
| - ตัวอย่างแช่แข็ง | 1.463 ± 0.063 | 4.697 ± 0.118 | | + | + | + |
| - ตัวอย่างแช่ในเอทานอล | 1.439 ± 0.099 | 5.309 ± 0.135 | | + | + | + |
| Chloroform | | | | | | |
| | | | 8 ชั่วโมง | | | |
| - ตัวอย่างแช่แข็ง | 1.428 ± 0.099 | 0.256 ± 0.192 | | + | - | + |
| - ตัวอย่างแช่ในเอทานอล | 1.504 ± 0.135 | 1.135 ± 0.033 | | + | + | - |
| Guanidine Thiocyanate | | | | | | |
| | | | 7 ชั่วโมง | | | |
| - ตัวอย่างแช่แข็ง | 1.406 ± 0.087 | 1.070 ± 0.033 | | + | + | + |
| - ตัวอย่างแช่ในเอทานอล | 1.406 ± 0.108 | 1.159 ± 0.094 | | + | + | + |

หมายเหตุ ข้อมูลที่แสดงเป็นค่าเฉลี่ย \pm ค่าเบี่ยงเบนมาตรฐานของการทดลองแต่ละครั้งที่อิสระต่อกัน



ภาพที่ 4-3 ค่าเฉลี่ยความบริสุทธิ์ของดีเอ็นเอที่สกัดด้วยวิธีต่างกัน 4 วิธีจากตัวอย่างควบคุมและเอทานอล 100%



ภาพที่ 4-4 ค่าเฉลี่ยปริมาณดีเอ็นเอของตัวอย่างควบคุมและเอทานอล 100% จากวิธีสกัดทั้ง 4 วิธี

หมายเหตุ วิธีที่ 1 คือ การสกัดด้วยชุดสกัด GF-1 Tissue DNA Extraction Kit

วิธีที่ 2 คือ วิธี PCR- ready genomic DNA

วิธีที่ 3 คือ การสกัดด้วย Chloroform

วิธีที่ 4 คือ การสกัดด้วย Guanidine Thiocyanate

ตอนที่ 2 การศึกษาความหลากหลายทางพันธุกรรมในปลาการ์ตูนอานม้า

1. บริเวณยีน 16S rRNA ในไมโทคอนเดรียลดีเอ็นเอ

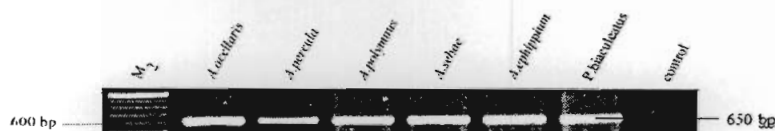
ในการศึกษาครั้งนี้เริ่มต้นจากการทดสอบว่ายีน 16S rRNA มีความเหมาะสมที่จะใช้ศึกษาความหลากหลายทางพันธุกรรมระหว่างประชากรภายในชนิดเดียวกันหรือไม่ จึงศึกษาเปรียบเทียบความเหมาะสมในตัวอย่างต่างชนิดเป็นอันดับแรก คือ จากปลาการ์ตูนอานม้า เปรียบเทียบกับปลาการ์ตูนชนิดอื่น ๆ อีก 5 ชนิด คือ ปลาการ์ตูนส้มขาว ปลาการ์ตูนเพอคูล่า ปลาการ์ตูนลายปล้องหางเหลือง ปลาการ์ตูนแดงดำ และปลาการ์ตูนแดง โดยทำการเพิ่มปริมาณดีเอ็นเอในบริเวณ 16S rRNA ด้วยเทคนิคพีซีอาร์เมื่อใช้คู่ไพรเมอร์ (16Sar_L/16Sbr_H) พบว่า ผลผลิตพีซีอาร์ทุกตัวอย่างของปลาการ์ตูนทั้ง 6 ชนิด มีขนาดใกล้เคียงกันคือประมาณ 650 คู่เบส เมื่อเทียบกับดีเอ็นเอมาตรฐาน 100 bp DNA Ladder Plus (M_2) ดังภาพที่ 4-5 และเมื่อวิเคราะห์รูปแบบดีเอ็นเอของปลาการ์ตูน 6 ชนิดภายหลังการตัดผลิตผลพีซีอาร์บริเวณยีน 16S rRNA ด้วยเรสทริกชันเอนไซม์ เริ่มจากนำลำดับนิวคลีโอไทด์ในบริเวณ 16S rRNA ขนาดประมาณ 529 คู่เบสของปลาการ์ตูนอานม้าในฐานข้อมูล GenBank (Accession number AY666170) (Sparks & Smith, 2004) มาทำการคัดเลือกชนิดของเรสทริกชันเอนไซม์ด้วยโปรแกรม webcutter 2.0 และพบว่า เอนไซม์ *MseI* ซึ่งมีบริเวณจดจำของลำดับนิวคลีโอไทด์คือ 5'.. T TAA..3' ตัดผลิตผลพีซีอาร์ของปลาการ์ตูนทั้ง 6 ชนิด คือ เมื่อใช้ *MseI* ได้รูปแบบดีเอ็นเอจำเพาะที่สามารถแบ่งกลุ่มปลาการ์ตูนได้ 2 กลุ่ม โดย กลุ่มที่ 1) ปลาการ์ตูนส้มขาว ปลาการ์ตูนเพอคูล่า ปลาการ์ตูนอานม้าและปลาการ์ตูนแดงดำ ปรากฏแถบดีเอ็นเอเข้ม 2 แถบ (ขนาดประมาณ 140 และ 160 คู่เบส) กลุ่มที่ 2) ปลาการ์ตูนลายปล้องหางเหลืองและปลาการ์ตูนแดง ปรากฏแถบดีเอ็นเอเข้ม 2 แถบเช่นกัน (ขนาดประมาณ 140 และ 250 คู่เบส) แต่ไม่สามารถบ่งชี้ระหว่างชนิดได้ (ภาพที่ 4-6)

2. บริเวณยีน ND4-ND5 ในไมโทคอนเดรียลดีเอ็นเอ

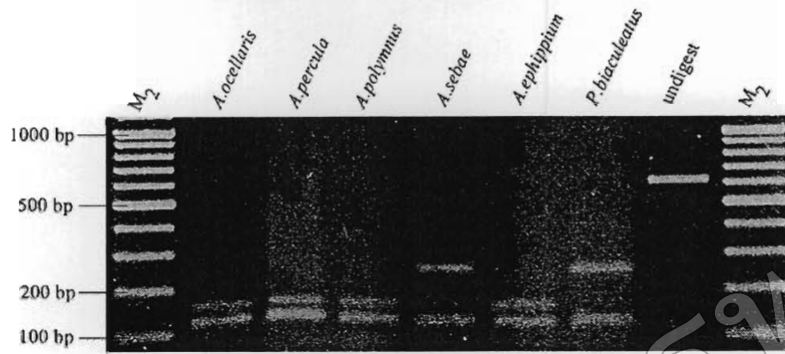
ในการศึกษาครั้งนี้เริ่มต้นศึกษาจากปลาการ์ตูนอานม้าเปรียบเทียบกับปลาการ์ตูนชนิดอื่นๆ อีก 3 ชนิด คือ ปลาการ์ตูนอินเดียนแดงส้ม ปลาการ์ตูนเพอคูล่า และ ปลาการ์ตูนส้มขาว เพื่อดูแนวโน้มความหลากหลายทางพันธุกรรมในกลุ่มปลาการ์ตูนเป็นข้อมูลเบื้องต้น แล้วจึงศึกษาเฉพาะในปลาการ์ตูนอานม้า (*A. polymnus*) ในลำดับต่อไป โดยเพิ่มปริมาณดีเอ็นเอในบริเวณ ND4-ND5 ด้วยเทคนิคพีซีอาร์ด้วยคู่ไพรเมอร์ ND4-L2/ND5-R2 พบว่า ผลผลิตพีซีอาร์ทุกตัวอย่างของปลาการ์ตูนทั้ง 4 ชนิด มีขนาดใกล้เคียงกันคือประมาณ 895 คู่เบส เมื่อเทียบกับดีเอ็นเอมาตรฐาน 100 bp DNA Ladder Plus (M_2) ดังภาพที่ 4-7 และเมื่อตัดผลิตผลพีซีอาร์ด้วยเอนไซม์ *BfuCI* หรือ *DdeI* ซึ่งผ่านการวิเคราะห์และการตรวจสอบตำแหน่งตัดด้วยโปรแกรม webcutter 2.0 มาก่อน โดยพบความ

แตกต่างของรูปแบบดีเอ็นเอระหว่างปลาการ์ตูนทั้ง 4 ชนิด ดังแสดงในภาพที่ 4-11 นั่นคือเมื่อใช้ *BfuCI* รูปแบบดีเอ็นเอจำเพาะหลังตัดในปลาการ์ตูนอานม้าปรากฏแถบดีเอ็นเอเข้ม 4 แถบ (ขนาดประมาณ 125, 200, 270 และ 300 คู่เบส) ปลาการ์ตูนอินเดียแดงส้มปรากฏแถบดีเอ็นเอเข้ม 3 แถบ (ประมาณ 125, 200 และ 560 คู่เบส) ปลาการ์ตูนเพอคูล่าปรากฏรูปแบบดีเอ็นเอเข้ม 3 แถบ (ประมาณ 125, 175 และ 570 คู่เบส) ส่วนปลาการ์ตูนส้มขาวมี 3 แถบ (ประมาณ 125, 175 และ 580 คู่เบส) และเมื่อใช้เอนไซม์ *DdeI* ได้แถบดีเอ็นเอหลังตัด 3 หรือ 2 แถบที่มีขนาดแตกต่างกันในแต่ละชนิดคือ ในปลาการ์ตูนอานม้าปรากฏชัดเจน 3 แถบ (ประมาณ 175, 190 และ 525 คู่เบส) ปลาการ์ตูนอินเดียแดงส้มมีแถบดีเอ็นเอจำเพาะ 3 แถบ (ประมาณ 175, 190 และ 400 คู่เบส) ปลาการ์ตูนเพอคูล่าปรากฏแถบดีเอ็นเอชัดเจน 3 แถบ (ประมาณ 155, 240 และ 335 คู่เบส) ส่วนปลาการ์ตูนส้มขาวมีแถบดีเอ็นเอจำเพาะ 2 แถบ (ประมาณ 365 และ 460 คู่เบส)

เมื่อทำการศึกษาภายในประชากรของปลาการ์ตูนอานม้าโดยใช้ตัวอย่างจากแหล่งต่างๆ คือ 1) จากธรรมชาติ (NA) บริเวณหาดปลา จ.ระยอง 2) ฟาร์มเพาะเลี้ยง จ. ระยอง (RY) 3) ฟาร์มเพาะเลี้ยง จ. ภูเก็ต (PU) 4) ฟาร์มเพาะเลี้ยง จ. พังงา (PA) และ 5) ฟาร์มเพาะเลี้ยง จ. ชลบุรี (CN) พบว่าทุกตัวอย่างให้ผลผลิตพีซีอาร์ในบริเวณยีน ND4-ND5 ที่มีขนาดประมาณ 895 คู่เบส แสดงดังภาพที่ 4-9 เมื่อตัดดีเอ็นเอที่เพิ่มจำนวนได้ในแต่ละตัวอย่าง (สุ่มทดสอบ 25 ตัวอย่าง) ด้วยเอนไซม์ 2 ชนิดร่วมกัน คือ *BfuCI+HaeIII* และ *DdeI+HaeIII* โดยผ่านการตรวจสอบตำแหน่งตัดด้วยโปรแกรม webcutter 2.0 มาก่อน แต่ทั้งนี้ไม่พบความแตกต่างภายในประชากรของปลาการ์ตูนอานม้า แถบดีเอ็นเอที่ปรากฏภายหลังตัดด้วย *BfuCI+HaeIII* มีรูปแบบดีเอ็นเอเหมือนกันทั้งหมดคือมีจำนวน 7 แถบ ขนาดประมาณ 85, 95, 110, 130, 140, 180 และ 255 คู่เบส ดังแสดงในภาพที่ 4-10 (แสดงเพียง 14 ตัวอย่าง) และเช่นเดียวกับการตัดด้วยเอนไซม์ *DdeI+HaeIII* ปรากฏแถบดีเอ็นเอเข้มจำนวน 5 แถบ ขนาดประมาณ 60, 165, 175, 240 และ 286 คู่เบส แสดงในภาพที่ 4-11 (แสดงเพียง 12 ตัวอย่าง)



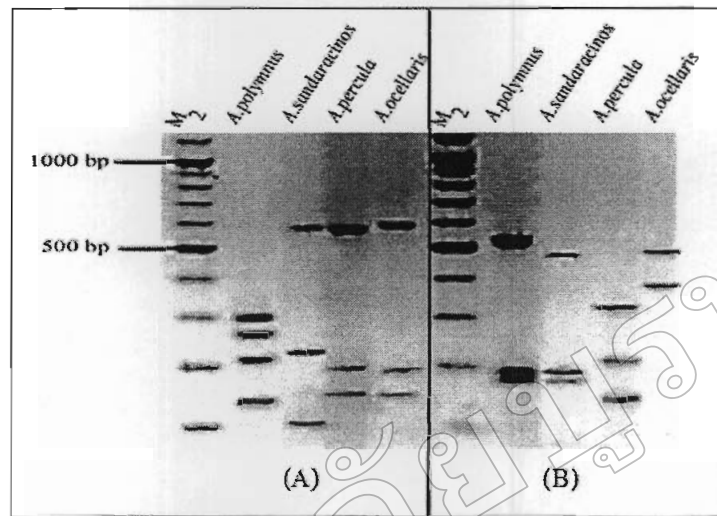
ภาพที่ 4-5 ผลผลิตพีซีอาร์ในบริเวณยีน 16S rRNA ขนาดประมาณ 650 คู่เบสของปลาการ์ตูน 6 ชนิด ได้แก่ ปลาการ์ตูนส้มขาว (*A. ocellaris*) ปลาการ์ตูนเพอคูล่า (*A. percula*) ปลาการ์ตูนอานม้า (*A. polymnus*) ปลาการ์ตูนลายปล้องหางเหลือง (*A. sebae*) ปลาการ์ตูนแดงดำ (*A. ephippium*) ปลาการ์ตูนแดง (*P. biaculeatus*) และปฏิกิริยาพีซีอาร์ควบคุมที่ไม่มีดีเอ็นเอ (control) ตามลำดับ



ภาพที่ 4-6 รูปแบบ PCR-RFLP ในบริเวณ 16S rRNA ภายหลังจากตัดด้วยเอนไซม์ *MseI* ของปลาการ์ตูนส้มขาว (*A. ocellaris*) ปลาการ์ตูนเพอคูล่า (*A. percula*) ปลาการ์ตูนอานม้า (*A. polymnus*) ปลาการ์ตูนลายปล้องหางเหลือง (*A. sebae*) ปลาการ์ตูนแดงดำ (*A. ephippium*) ปลาการ์ตูนแดง (*P. biaculeatus*) และผลิตภัณฑ์ซีอาร์ของปลาการ์ตูนอานม้าก่อนตัดด้วยเวสเทริกซ์เอนไซม์ (undigest) ตามลำดับ



ภาพที่ 4-7 แถบดีเอ็นเอของผลิตภัณฑ์ซีอาร์ในบริเวณ ND4-ND5 ขนาดประมาณ 895 คู่เบสของปลาการ์ตูน 4 ชนิด ได้แก่ ปลาการ์ตูนอานม้า (*A. polymnus*) ปลาการ์ตูนอินเดียแดงส้ม (*A. sandaracinos*) ปลาการ์ตูนเพอคูล่า (*A. percula*) และปลาการ์ตูนส้มขาว (*A. ocellaris*) ตามลำดับ โดยเปรียบเทียบกับ 100 bp DNA Ladder Plus (M_2)

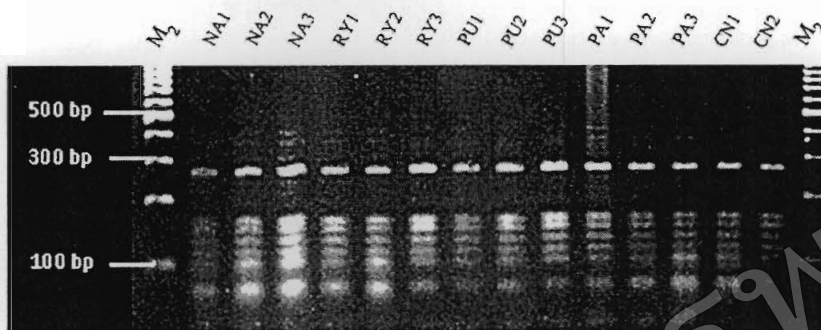


ภาพที่ 4-8 รูปแบบ PCR-RFLP ในบริเวณ ND4-ND5 ภายหลังตัดด้วยเอนไซม์ *BfuCI* (A) และ *DdeI* (B) ของปลาการ์ตูน 4 ชนิด คือ ปลาการ์ตูนอานม้า (*A. polymnus*) ปลาการ์ตูนอินเดียนแดงส้ม (*A. sandaracinos*) ปลาการ์ตูนเพอคูล่า (*A. percula*) และปลาการ์ตูนส้มขาว (*A. ocellaris*)



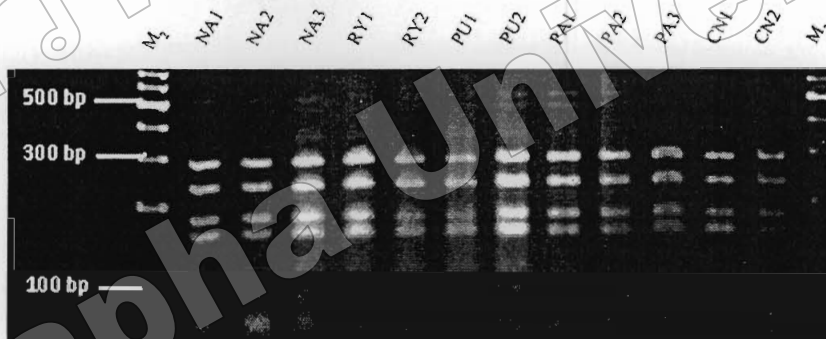
ภาพที่ 4-9 แถบดีเอ็นเอของผลิตภัณฑ์พีซีอาร์ในบริเวณ ND4-ND5 ขนาดประมาณ 895 คู่เบสของปลาการ์ตูนอานม้าจากแหล่งต่าง ๆ (แสดงเพียง 9 ตัวอย่าง) เปรียบเทียบกับ 100 bp DNA Ladder Plus (M_2)

| | | |
|----------|------|--|
| หมายเหตุ | NA | คือ ตัวอย่างปลาการ์ตูนอานม้าจากธรรมชาติ จ. ระยอง |
| | RY | คือ ตัวอย่างปลาการ์ตูนอานม้าจากฟาร์มเพาะเลี้ยง จ. ระยอง |
| | PU | คือ ตัวอย่างปลาการ์ตูนอานม้าจากฟาร์มเพาะเลี้ยง จ. ภูเก็ต |
| | PA | คือ ตัวอย่างปลาการ์ตูนอานม้าจากฟาร์มเพาะเลี้ยง จ. พังงา |
| | CN | คือ ตัวอย่างปลาการ์ตูนอานม้าจากฟาร์มเพาะเลี้ยง จ. ชลบุรี |
| | 1, 2 | คือ ลำดับตัวอย่าง |



ภาพที่ 4-10 รูปแบบ PCR-RFLP ในบริเวณ ND4-ND5 ของปลาการ์ตูนอนม้าในแต่ละแหล่ง ภายหลังตัดด้วยเอนไซม์ *BfuCI*+*HeaIII* (NA; ปลาการ์ตูนอนม้าจากธรรมชาติ, RY, PU, PA, CN; ปลาการ์ตูนอนม้าจากฟาร์มเพาะเลี้ยงจาก จ.ระยอง จ.ภูเก็ต จ. พังงา และ จ. ชลบุรี ตามลำดับ)

หมายเหตุ 1, 2, 3 คือ ลำดับตัวอย่าง



ภาพที่ 4-11 รูปแบบ PCR-RFLP ในบริเวณ ND4-ND5 ของปลาการ์ตูนอนม้าในแต่ละแหล่ง ภายหลังตัดด้วยเอนไซม์ *DdeI*+*HeaIII* (NA; ปลาการ์ตูนอนม้าจากธรรมชาติ, RY, PU, PA, CN; ปลาการ์ตูนอนม้าจากฟาร์มเพาะเลี้ยงจาก จ.ระยอง จ.ภูเก็ต จ. พังงา และ จ. ชลบุรี ตามลำดับ)

หมายเหตุ 1, 2, 3 คือ ลำดับตัวอย่าง

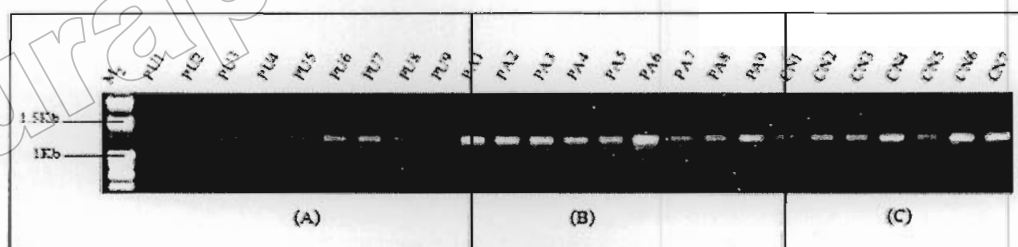
3. บริเวณ D-loop หรือ control region ในไมโทคอนเดรียดีเอ็นเอ

ผลการเพิ่มปริมาณดีเอ็นเอบริเวณ D-loop ของตัวอย่างปลาการ์ตูนานม้าที่มาจากธรรมชาติ จ. ระยอง (NA) และปลาการ์ตูนานม้าจากฟาร์มเพาะเลี้ยง จ. ระยอง (RY) พบว่าให้ผลิตภัณฑ์ซีอาร์ที่มีขนาดอยู่ในช่วงประมาณ 1,100-1,400 คู่เบส ดังแสดงในภาพที่ 4-12 (A และ B) ส่วนผลิตภัณฑ์ซีอาร์ของตัวอย่างปลาการ์ตูนานม้าจากฟาร์มเพาะเลี้ยงจาก จ. ภูเก็ต จ. พังงา และ จ. ชลบุรี (PU, PA และ CN ตามลำดับ) มีขนาดประมาณ 1,100 คู่เบส ดังแสดงในภาพที่ 4-13 (A, B และ C) ตามลำดับ และสามารถยืนยันได้ว่าเป็นบริเวณ D-loop จากผลการวิเคราะห์ลำดับนิวคลีโอไทด์จากตัวอย่างที่สุ่มมาจากฟาร์มเพาะเลี้ยง จ. ระยอง (RY10) จำนวน 1 ตัวอย่าง และ BLAST กับฐานข้อมูล GenBank ดังแสดงในตารางที่ 4-2



ภาพที่ 4-12 แถบดีเอ็นเอของผลิตภัณฑ์ซีอาร์ในบริเวณ D-loop ขนาดประมาณ 1,100-1,400 คู่เบสของปลาการ์ตูนานม้าจากธรรมชาติ (A) (แสดงเพียง 10 ตัวอย่าง) และจากแหล่งเพาะเลี้ยงใน จ. ระยอง (B) เปรียบเทียบกับ 100 bp DNA Ladder Plus (M₂)

หมายเหตุ 1, 2, 3, ..., 10 คือ ลำดับตัวอย่าง



ภาพที่ 4-13 แถบดีเอ็นเอของผลิตภัณฑ์ซีอาร์ในบริเวณ D-loop ขนาดประมาณ 1,100 คู่เบสของปลาการ์ตูนานม้าจากฟาร์มเพาะเลี้ยงใน จ. ภูเก็ต (A) จ. พังงา (B) และ จ. ชลบุรี (C) (แสดงเพียงบางตัวอย่าง) เปรียบเทียบกับ 100 bp DNA Ladder Plus (M₂)

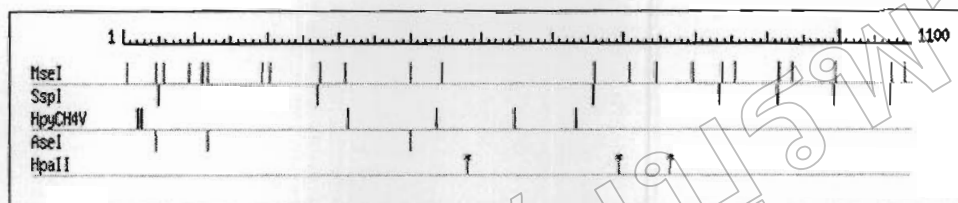
หมายเหตุ 1, 2, 3, ..., 9 คือ ลำดับตัวอย่าง

ตารางที่ 4-2 เปรียบเทียบความเหมือนของลำดับนิวคลีโอไทด์บริเวณ D-loop ของปลาการ์ตูนอานม้า (*A. polymnus*) จากการศึกษาข้อมูล GenBank

| Accession no. | ชนิดของปลาการ์ตูน | จำนวนเบสของปลาการ์ตูนอานม้า/ | |
|---------------|---------------------|---------------------------------------|--------------|
| | | จำนวนเบสที่เทียบเคียงทั้งหมด (คู่เบส) | % ความเหมือน |
| AP006017 | <i>A. ocellaris</i> | 780/965 | 80 |
| EF990146 | <i>A. clarkii</i> | 455/523 | 90 |
| DQ343941 | <i>A. polymnus</i> | 373/403 | 92 |
| DQ343932 | <i>A. frenatus</i> | 361/404 | 89 |
| EU113313 | <i>A. sebae</i> | 345/366 | 94 |

เมื่อทำการตัดผลิตภัณฑ์ซีอาร์บริเวณ D-loop ด้วยเอนไซม์ 5 ชนิด จากการคัดเลือกด้วยโปรแกรม webcutter 2.0 (แสดงจำนวนซันดิเอ็นเอและขนาดของซันดิเอ็นเอที่คาดว่าจะได้ของบริเวณ D-loop ดังตารางที่ 4-3 และแสดงไดอะแกรมเมื่อตัดด้วยเอนไซม์ 5 ชนิด ใว์ดิงภาพที่ 4-14) และเมื่อทำการตัดผลิตภัณฑ์ซีอาร์ที่ได้ด้วยเรสทริกชันเอนไซม์ทั้ง 5 ชนิด กับตัวอย่างทั้งหมดที่มาจากรวมชาติ จ. ระยอง (NA) ฟาร์มเพาะเลี้ยงจาก จ. ระยอง จ. ภูเก็ต จ. พังงา และ จ. ชลบุรี (RY, PU, PA และ CN) พบว่าจำนวนรูปแบบ haplotype ของแถบดีเอ็นเอที่เกิดขึ้นภายหลังการตัดด้วยเอนไซม์ *MseI*, *SspI*, *HpyCH4V*, *AseI* และ *HpaII* มีจำนวน 1, 3, 10, 8 และ 5 รูปแบบตามลำดับ (ใช้สัญลักษณ์ A, B, C, ... ในแต่ละรูปแบบที่เกิดจากการตัดด้วยเอนไซม์แต่ละชนิด) รายละเอียดขนาดของซันดิเอ็นเอแสดง ใว์ดิงตาราง 4-4 เมื่อพิจารณาความถี่ของรูปแบบ haplotype ในแต่ละเอนไซม์ (ตารางที่ 4-5) พบว่าเอนไซม์ *MseI* ปรากฏเพียง haplotype เดียว จึงไม่ได้แสดงข้อมูลในตารางสำหรับเอนไซม์ *SspI* พบรูปแบบ *SspI*-A มากที่สุด คิดเป็น 77.7% เมื่อใช้เอนไซม์ *HpyCH4V* พบรูปแบบ *HpyCH4V*-C มากที่สุดในกลุ่มปลาการ์ตูนอานม้าที่มาจากธรรมชาติ (NA) ฟาร์มเพาะเลี้ยง จ. ระยอง (RY) และ จ. ชลบุรี (CN) ซึ่งคิดเป็น 27.7% และพบรูปแบบ *HpyCH4V*-I ได้เฉพาะในกลุ่มปลาการ์ตูนอานม้าจากฟาร์มเพาะเลี้ยง จ. ภูเก็ต (PU) และ จ. พังงา (PA) เท่านั้น สำหรับการตัดด้วยเอนไซม์ *AseI* พบรูปแบบ *AseI*-B มากที่สุดในกลุ่มปลาการ์ตูนอานม้าจากธรรมชาติ (NA) ฟาร์มเพาะเลี้ยง จ. ระยอง (RY) และ จ. ชลบุรี (CN) คิดเป็น 29.73% แต่ในกลุ่มปลาการ์ตูนอานม้าจากฟาร์มเพาะเลี้ยง จ. ภูเก็ต (PU) และ จ. พังงา (PA) พบเฉพาะรูปแบบ *AseI*-H เพียงรูปแบบเดียวเท่านั้น ส่วนเอนไซม์ *HpaII* พบรูปแบบ *HpaII*-C มากที่สุดใน 3 กลุ่ม คือ ปลาการ์ตูนอานม้าจาก

ธรรมชาติ (NA) ฟาร์มเพาะเลี้ยง จ. ระยอง (RY) และ จ. ชลบุรี (CN) คิดเป็น 12.84% และในกลุ่ม
ปลาการ์ตูนอานม้าจากฟาร์มเพาะเลี้ยง จ. ภูเก็ต (PU) และ จ. พังงา (PA) พบเฉพาะรูปแบบ *HpaII*-C
เพียงรูปแบบเดียวเท่านั้น



ภาพที่ 4-14 ไดอะแกรมลำดับนิวคลีโอไทด์บริเวณ D-loop ขนาดประมาณ 1,100 คู่เบส ตัดด้วย
เอนไซม์ *MseI*, *SspI*, *HpyCH4V*, *AseI* และ *HpaII* () แสดงตำแหน่งตัดของเอนไซม์

ตารางที่ 4-3 ชนิดเอนไซม์ จำนวนชนิดเอ็นเอและขนาดของชนิดเอ็นเอบริเวณ D-loop ที่คาดการณ์
เมื่อตัดด้วยเรสทริกชันเอนไซม์ *MseI*, *SspI*, *HpyCH4V*, *AseI* และ *HpaII* ใน
ปลาการ์ตูนอานม้า (รหัส RY10)

| ชนิด เอนไซม์ | จำนวนชนิด ดีเอ็นเอ | ขนาดชนิดเอ็นเอ (คู่เบส) |
|-----------------|-----------------------|---|
| <i>MseI</i> | 24 | 215, 93, 79, 75, 70, 61, 61, 51, 49, 43, 40, 40, 38, 34, 34, 19, 3(18), 11, 10, (2)8 และ 5 |
| <i>SspI</i> | 8 | 386, 220, 177, 79, 79, 79, 52 และ 28 |
| <i>HpyCH4V</i> | 7 | 466, 286, 124, 111, 85, 22 และ 6 |
| <i>AseI</i> | 4 | 698, 282, 72 และ 48 |
| <i>HpaII</i> | 4 | 482, 333, 213 และ 72 |

ตารางที่ 4-4 รูปแบบ haplotype และขนาดชิ้นดีเอ็นเอของบริเวณ D-loop ที่ได้จากการตัดด้วย
เรสทริกชันเอนไซม์

| ชนิดของเอนไซม์ | รูปแบบ haplotype | ขนาดชิ้นของดีเอ็นเอ (คู่เบส) |
|----------------|------------------|------------------------------------|
| <i>MseI</i> | A | 50, 60, 60, 80, 80, 80, 90 และ 210 |
| <i>SspI</i> | A | 50, 80, 80, 80, 170, 220 และ 400 |
| | B | 65, 80, 80, 80, 170, 220 และ 400 |
| | C | 70, 80, 80, 80, 170, 220 และ 400 |
| <i>HpyCH4V</i> | A | 80, 110, 120, 290 และ 610 |
| | B | 80, 110, 120, 290 และ 550 |
| | C | 80, 110, 120, 290 และ 590 |
| | D | 80, 110, 120, 290 และ 530 |
| | E | 80, 110, 120, 290 และ 710 |
| | F | 80, 110, 120, 290 และ 730 |
| | G | 80, 110, 120, 290 และ 690 |
| | H | 80, 110, 120, 290 และ 490 |
| | I | 80, 110, 120, 290 และ 500 |
| | J | 80, 110, 120, 290 และ 650 |
| <i>AseI</i> | A | 75, 280 และ 910 |
| | B | 75, 280 และ 840 |
| | C | 75, 280 และ 780 |
| | D | 75, 280 และ 900 |
| | E | 75, 280 และ 970 |
| | F | 75, 280 และ 930 |
| | G | 75, 280 และ 730 |
| | H | 75, 280 และ 750 |
| <i>HpaII</i> | A | 75, 210 และ 500 |
| | B | 75, 210, 500 และ 410 |
| | C | 75, 210, 500 และ 360 |
| | D | 75, 210, 500 และ 570 |
| | E | 75, 500 และ 710 |

3.1 ความหลากหลายทางพันธุกรรมภายในกลุ่มประชากร

เมื่อพิจารณารูปแบบ haplotype ของบริเวณ D-loop ที่เกิดจากการตัดด้วยเอนไซม์ ทั้งหมดมาพิจารณารวมกัน (composite haplotype) พบทั้งหมด 23 รูปแบบ ดังแสดงในตารางที่ 4-6 และเมื่อพิจารณา composite haplotype ของตัวอย่างปลาการ์ตูนอานม้าที่มาจากธรรมชาติ จ. ระยอง (NA) ฟาร์มเพาะเลี้ยงจาก จ. ระยอง จ. ภูเก็ต จ. พังงา และ จ. ชลบุรี (RY, PU, PA และ CN) composite haplotype ที่พบมากที่สุดในตัวอย่างไม่ใช่ปลาการ์ตูนอานม้าที่มาจากธรรมชาติ (NA) ฟาร์มเพาะเลี้ยงจาก จ. ระยอง และ จ. ชลบุรี (RY และ CN) คือรูปแบบ ACBB คิดเป็น 29.05, 4.05 และ 6.76% ตามลำดับ และรูปแบบ AIHC พบมากที่สุดในตัวอย่างไม่ใช่ปลาการ์ตูนอานม้าที่มาจากฟาร์มเพาะเลี้ยง จ. ภูเก็ตและ จ. พังงา (PU และ PA) คิดเป็น 17.56 และ 25.67% ตามลำดับ และเมื่อทดสอบ Monte Carlo Simulation (1,000 ครั้ง) ความถี่ของ haplotype แพร่กระจายระหว่างประชากร พบว่ามีความแตกต่างกันอย่างมีนัยสำคัญระหว่างประชากรจากทุกแหล่งที่ศึกษา ($\chi^2=88.35, P < 0.001$)

จากข้อมูล haplotype diversity และ nucleotide diversity แสดงในตารางที่ 4-6 พบว่า ประชากรจากธรรมชาติ จ. ระยอง (NA) มีค่า haplotype diversity มากที่สุด (0.75 ± 0.06) ส่วน ประชากรจากฟาร์มเพาะเลี้ยง จ. ภูเก็ต (PU) มีค่า nucleotide diversity มากที่สุด (0.010) ทั้งนี้จะเห็นได้ว่าในแต่ละประชากรมีค่า haplotype diversity ค่อนข้างสูง แสดงว่ามีความหลากหลายทางพันธุกรรมสูงภายในแต่ละกลุ่มประชากรของปลาการ์ตูนอานม้า

3.2 ความหลากหลายทางพันธุกรรมระหว่างกลุ่มประชากร

เมื่อนำ haplotype ของบริเวณ D-loop ที่ได้ภายหลังตัดด้วยเอนไซม์ของปลาการ์ตูนอานม้าจาก 5 แหล่ง มาวิเคราะห์ค่า Similarity distance ด้วยโปรแกรม Gene Directory ระหว่าง haplotype ที่เกิดจากการตัดด้วยเอนไซม์ 4 ชนิด คือ *SspI*, *HpyCH4V*, *AseI* และ *HpaII* โดยใช้ค่า Similarity distance ระหว่าง composite haplotype (คำนวณตามวิธีของ Dice) ของทั้ง 4 เอนไซม์ สร้างแผนโคโรแกรมวิธี UPGMA ด้วยโปรแกรม PAUP* (Swofford, 2002) แสดงความสัมพันธ์ระหว่างประชากรของปลาการ์ตูนอานม้า ดังภาพที่ 4-15 พบว่าสามารถแยกกลุ่มประชากรปลาการ์ตูนอานม้าจากแต่ละแหล่งออกจากกันได้ชัดเจน และทุกกลุ่มประชากรสามารถแบ่งกลุ่มย่อยได้ 2 กลุ่ม โดยประชากรปลาการ์ตูนอานม้าจากฟาร์มเพาะเลี้ยง จ. ชลบุรี (CN) มีลักษณะทางพันธุกรรมที่เหมือนกันที่ระดับ 50% กลุ่มปลาการ์ตูนอานม้าจากฟาร์มเพาะเลี้ยง จ. ระยอง (RY) มีความเหมือนของลักษณะทางพันธุกรรมภายในกลุ่มสูงถึง 75% สำหรับกลุ่มประชากรปลาการ์ตูนอานม้าจากฟาร์มเพาะเลี้ยง จ. ภูเก็ต (PU) มีลักษณะทางพันธุกรรมที่เหมือนกันที่ระดับ 30% ภายใน

ประชากรของปลาการ์ตูนอานม้าจากธรรมชาติ จ. ระยอง (NA) มีลักษณะทางพันธุกรรมที่เหมือนกันที่ระดับ 50% ส่วนภายในประชากรของปลาการ์ตูนอานม้าจากฟาร์มเพาะเลี้ยง จ. พังงา (PA) มีลักษณะทางพันธุกรรมที่เหมือนกันที่ระดับ 40%

ผลการวิเคราะห์จาก Analysis of Molecular Variance (AMOVA) พบว่า Percentage of variation ระหว่างกลุ่มประชากรของปลาการ์ตูนอานม้าเท่ากับ 50.83 และภายในประชากรเท่ากับ 49.17 แสดงว่ามีความแตกต่างทางพันธุกรรมทั้งระหว่างประชากรและภายในประชากรของปลาการ์ตูนอานม้าในแต่ละแหล่ง แสดงดังตารางที่ 4-7

เมื่อเปรียบเทียบค่า F_{ST} ของแต่ละกลุ่มประชากรพบว่ามีค่าระหว่าง 0.08 (NA-RY; ระหว่างประชากรจากธรรมชาติกับฟาร์มเพาะเลี้ยง จ. ระยอง) ถึง 0.79 (PA-CN; ระหว่างประชากรที่มาจากฟาร์มเพาะเลี้ยง จ. พังงากับฟาร์มเพาะเลี้ยง จ. ชลบุรี) โดยค่า F_{ST} ที่ได้แสดงให้เห็นถึงความแตกต่างทางพันธุกรรมระหว่างประชากรในแต่ละแหล่งที่ทำการศึกษา (ตารางที่ 4-8) เมื่อทำการสร้างแผนโคโรแกรมจากค่า genetic distance โดยใช้โปรแกรม Phylip 3.86 พบว่าประชากรจาก 5 แหล่ง สามารถแบ่งได้เป็น 3 กลุ่ม ประกอบด้วย (1) กลุ่ม NA ซึ่งเป็นประชากรที่มาจากธรรมชาติ (2) RY และ CN ซึ่งมาจากฟาร์มเพาะเลี้ยงจาก จ. ระยอง และ จ. ชลบุรี ตามลำดับ (3) PU และ PA ซึ่งมาจากฟาร์มเพาะเลี้ยงจาก จ. ภูเก็ต และ จ. พังงา ตามลำดับ แสดงดังภาพที่ 4-16

ตารางที่ 4-5 ความถี่ของรูปแบบ haplotype ภายหลังจากตัดด้วยเอนไซม์บริเวณ D-loop ของ
ประชากรปลาทูนาจากแหล่งต่าง ๆ

| ชนิดของเอนไซม์ | รูปแบบ haplotype | % ความถี่ | ความถี่ของรูปแบบในแต่ละแหล่ง (จำนวน) | | | | |
|----------------|------------------|-----------|--------------------------------------|--------------|--------------|--------------|--------------|
| | | | NA (n=43) | RY (n=10) | PU (n=26) | PA (n=50) | CN (n=19) |
| <i>SspI</i> | A | 77.7 | 33 | 10 | 15 | 38 | 19 |
| | B | 9.4 | 4 | - | 3 | 7 | - |
| | C | 12.8 | 6 | - | 8 | 5 | - |
| <i>HpyCH4V</i> | A | 2.0 | 3 | - | - | - | - |
| | B | 7.4 | 3 | - | 1 | 5 | 2 |
| | C | 27.7 | 21 | 6 | 4 | - | 10 |
| | D | 4.7 | 7 | - | - | - | - |
| | E | 3.3 | 5 | - | - | - | - |
| | F | 2.0 | 3 | - | - | - | - |
| | G | 3.3 | 1 | - | - | - | 4 |
| | H | 2.7 | - | 4 | - | - | - |
| | I | 44.5 | - | - | 21 | 45 | - |
| | J | 2.0 | - | - | - | - | 3 |
| <i>AseI</i> | A | 2.0 | 3 | - | - | - | - |
| | B | 28.3 | 24 | 6 | - | - | 12 |
| | C | 4.7 | 7 | - | - | - | - |
| | D | 3.3 | 5 | - | - | - | - |
| | E | 2.0 | 3 | - | - | - | - |
| | F | 5.4 | 1 | - | - | - | 7 |
| | G | 2.7 | - | 4 | - | - | - |
| | H | 51.3 | - | - | 26 | 50 | - |
| <i>HpaII</i> | A | 3.3 | 5 | - | - | - | - |
| | B | 20.9 | 25 | 6 | - | - | - |
| | C | 71.6 | 7 | 4 | 26 | 50 | 19 |
| | D | 0.006 | 1 | - | - | - | - |
| | E | 0.006 | 1 | - | - | - | - |

หมายเหตุ NA=ธรรมชาติ จ. ระยอง, RY=เพาะเลี้ยง จ. ระยอง, PU=เพาะเลี้ยง จ. ภูเก็ต,
PA=เพาะเลี้ยง จ. พังงา, CN=เพาะเลี้ยง จ. ชลบุรี

ตารางที่ 4-6 ความถี่ของ composite haplotype, haplotype diversity และ nucleotide diversity บริเวณ D-loop ภายในประชากรปลาการ์ตูนอานม้าจากแหล่งต่าง ๆ

| Composite | ความถี่ของรูปแบบ | | | | |
|------------------------------------|------------------|-----------------|----------------|-----------------|-----------------|
| | NA | RY | PU | PA | CN |
| <i>h</i> 1 haplotype AAAA | 1 | | | | |
| <i>h</i> 2 BBBB | 1 | | | | |
| <i>h</i> 3 ACBB | 21 | 6 | | | 10 |
| <i>h</i> 4 ADCC | 5 | | | | |
| <i>h</i> 5 AEDA | 3 | | | | |
| <i>h</i> 6 AEDD | 1 | | | | |
| <i>h</i> 7 BEDA | 1 | | | | |
| <i>h</i> 8 AFDA | 1 | | | | |
| <i>h</i> 9 ADCC | 2 | | | | |
| <i>h</i> 10 AGFE | 1 | | | | |
| <i>h</i> 11 CFED | 2 | | | | |
| <i>h</i> 12 CBBB | 2 | | | | |
| <i>h</i> 13 CAAB | 1 | | | | |
| <i>h</i> 14 CAAD | 1 | | | | |
| <i>h</i> 15 AHGC | | 4 | | | |
| <i>h</i> 16 AIHC | | | 11 | 38 | |
| <i>h</i> 17 BIHC | | | 3 | 7 | |
| <i>h</i> 18 CIHC | | | 7 | | |
| <i>h</i> 19 CBHC | | | 1 | 5 | |
| <i>h</i> 20 ACHC | | | 4 | | |
| <i>h</i> 21 AGFB | | | | | 4 |
| <i>h</i> 22 AJFB | | | | | 3 |
| <i>h</i> 23 ABBB | | | | | 2 |
| N | 43 | 10 | 26 | 50 | 19 |
| Haplotype diversity ($h \pm SE$) | 0.75 \pm 0.06 | 0.53 \pm 0.09 | 0.73 \pm 0.5 | 0.40 \pm 0.07 | 0.67 \pm 0.08 |
| Nucleotide diversity (π) | 0.007 | 0.007 | 0.010 | 0.006 | 0.008 |

หมายเหตุ สัญลักษณ์ที่แสดงในช่อง composite haplotype หมายถึงรูปแบบ haplotype ที่ได้จาก เอนไซม์ *SspI*, *HpyCH4V*, *AseI* และ *HpaII* ตามลำดับ
 NA=ธรรมชาติ จ. ระยอง, RY=เพาะเลี้ยง จ. ระยอง, PU=เพาะเลี้ยง จ. ภูเก็ต
 PA=เพาะเลี้ยง จ. พังงา, CN=เพาะเลี้ยง จ. ชลบุรี

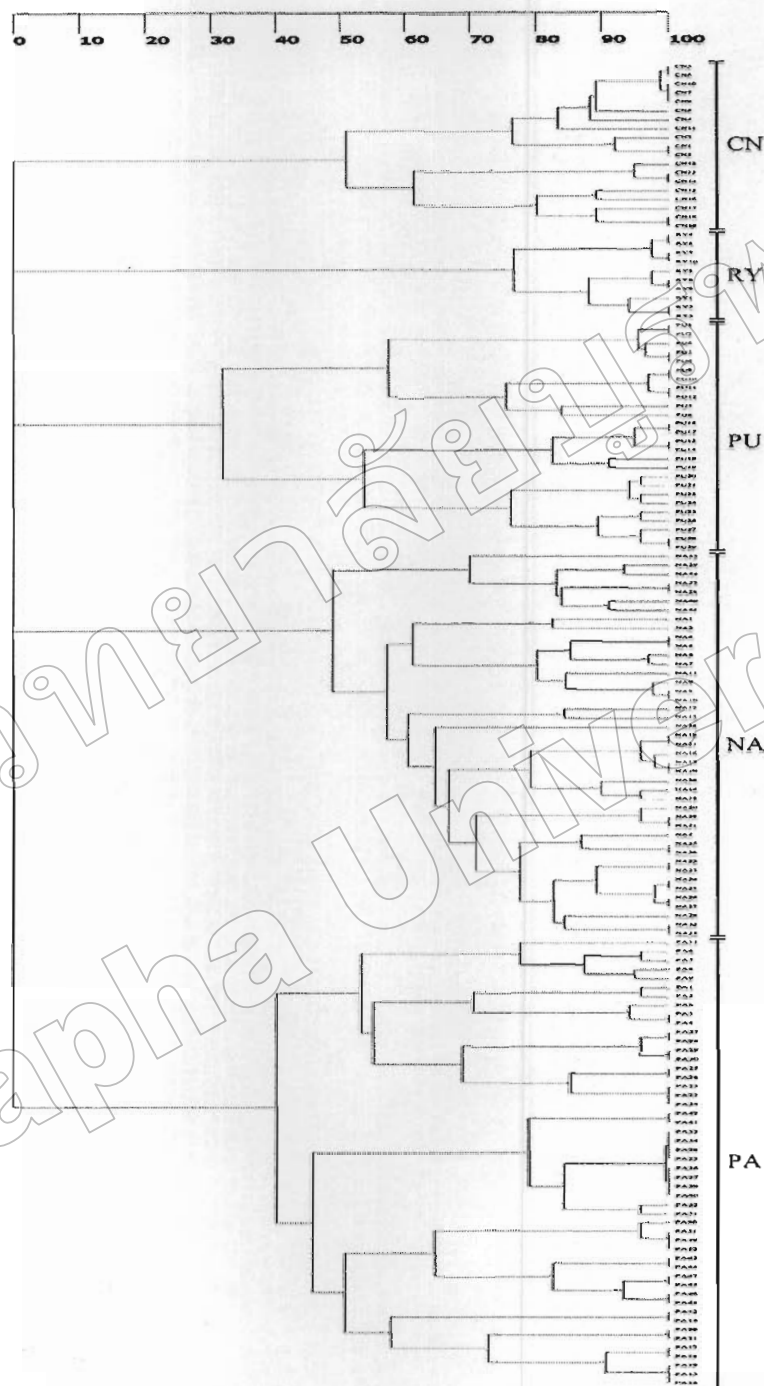
ตารางที่ 4-7 ผลการวิเคราะห์ AMOVA ในบริเวณ D-loop ของปลาการ์ตูนอานม้าจาก
ประชากร 5 แหล่ง

| Source of variation | df | Variance components | Percentage of variation |
|---------------------|------------------------------|---------------------|-------------------------|
| Among populations | 4 | 1.2915 | 50.83 |
| Within populations | 143 | 1.2491 | 49.17 |
| Total | 147 | 2.541 | |
| Fixation Index | $F_{ST} : 0.5083 (P < 0.05)$ | | |

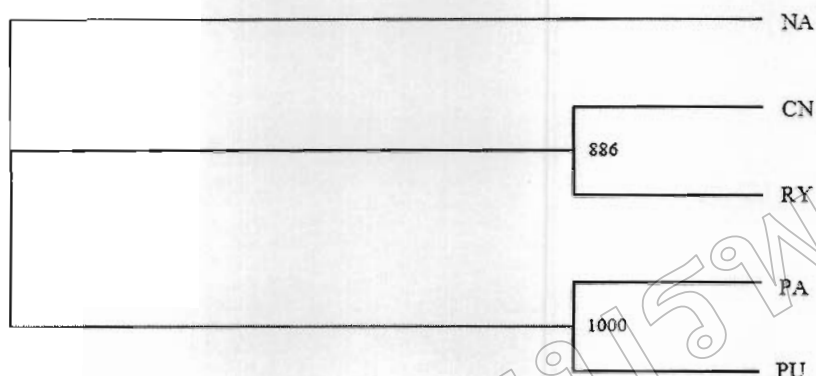
ตารางที่ 4-8 เปรียบเทียบค่า F_{ST} โดยวิเคราะห์จากบริเวณ D-loop ระหว่างกลุ่มประชากรของ
ปลาการ์ตูนอานม้า (ครึ่งเมทริกซ์ล่าง) และ P -value (ครึ่งเมทริกซ์บน)

* แสดงระดับค่านัยสำคัญที่ $p < 0.05$

| | NA | RY | PU | PA | CN |
|----|------|--------|--------|--------|--------|
| NA | | 0.030* | 0.000* | 0.000* | 0.000* |
| RY | 0.08 | | 0.000* | 0.000* | 0.000* |
| PU | 0.46 | 0.61 | | 0.000* | 0.000* |
| PA | 0.56 | 0.74 | 0.13 | | 0.000* |
| CN | 0.11 | 0.20 | 0.69 | 0.79 | |



ภาพที่ 4-15 UPGMA dendrogram บริเวณ D-loop ของแต่ละประชากรปลาการ์ตูนอานม้าจากแหล่งต่าง ๆ สร้างจากโปรแกรม Gene Directory (NA; ปลาการ์ตูนอานม้าจากธรรมชาติ, RY, PU, PA, CN; ปลาการ์ตูนอานม้าจากฟาร์มเพาะเลี้ยงจาก จ.ระยอง จ.ภูเก็ต จ. พังงา และ จ. ชลบุรี ตามลำดับ)



ภาพที่ 4-16 UPGMA dendrogram บริเวณ D-loop ของประชากรปลาการ์ตูนอนม้จาก 5 แหล่ง
คำนวณจาก Nei's genetic distance และ bootstrap=1,000 ครั้ง (NA; ปลาการ์ตูนอนม้
จากธรรมชาติ, RY, PU, PA, CN; ปลาการ์ตูนอนม้จากฟาร์มเพาะเลี้ยงจาก
จ.ระยอง จ.ภูเก็ต จ. พังงา และ จ. ชลบุรี ตามลำดับ)

4. บริเวณ ITS-1 ในนิวเคลียร์ดีเอ็นเอ

เมื่อเพิ่มปริมาณดีเอ็นเอด้วยเทคนิคพีซีอาร์ในบริเวณ ITS-1 พบว่าได้ผลิตผลพีซีอาร์ที่มี
ขนาดใกล้เคียงกันจากตัวอย่างที่ทำการศึกษามาทั้งจากธรรมชาติ (NA) และฟาร์มเพาะเลี้ยง 4 แหล่ง
(RY, PU, PA และ CN) คือ ประมาณ 750 คู่เบส (ภาพที่ 4-17) โดยบริเวณ ITS-1 นี้ยืนยันว่าเป็นการ
เพิ่มผลผลิตในบริเวณนี้จริงจากการวิเคราะห์ลำดับนิวคลีโอไทด์ผ่านการโคลนของผลิตผลพีซีอาร์ที่
เพิ่มจำนวนได้และ BLAST กับฐานข้อมูล GenBank (ไม่ได้แสดงผล)

เมื่อทำการวิเคราะห์หาตำแหน่งการตัด โดยใช้โปรแกรม webcutter 2.0 และตัดด้วย
เรสทริกชันเอนไซม์ 5 ชนิด คือ *HaeIII*, *HinfI*, *HhaI*, *HpaII* และ *MnII* จำนวนชิ้นดีเอ็นเอและขนาด
ของชิ้นดีเอ็นเอที่คาดว่าจะได้แสดงในตารางที่ 4-9 และแสดงไดอะแกรมตำแหน่งตัดของแต่ละ
เอนไซม์ไว้ดังภาพที่ 4-18

เมื่อตัดผลิตผลพีซีอาร์ที่ได้ด้วยเรสทริกชันเอนไซม์ทั้ง 5 ชนิด (*HaeIII*, *HinfI*, *HpaII*,
MnII และ *HhaI*) กับจำนวนตัวอย่างทั้งหมด 149 ตัวอย่างที่มาจากธรรมชาติ จ. ระยอง (NA)
ฟาร์มเพาะเลี้ยงจาก จ. ระยอง จ. ภูเก็ต จ. พังงา และ จ. ชลบุรี (RY, PU, PA และ CN) พบรูปแบบ
haplotype ของแต่ละเอนไซม์จำนวน 6, 1, 3, 5 และ 6 รูปแบบตามลำดับ แสดงไว้ดังตาราง 4-10
และเมื่อพิจารณาในแต่ละเอนไซม์พบว่าเอนไซม์ *HinfI* ปรากฏเพียงหนึ่ง haplotype จึงไม่นำมาใช้
ในการวิเคราะห์และไม่ได้แสดงข้อมูลในตาราง เอนไซม์ *HaeIII* พบว่าให้รูปแบบ A มากที่สุด คิด
เป็น 50.67% จากตัวอย่างทั้งหมด 149 ตัวอย่าง สำหรับเอนไซม์ *HhaI* พบรูปแบบ A มากที่สุด

เช่นกัน คิดเป็น 76.67% ส่วนการตัดด้วยเอนไซม์ *HpaII* พบรูปแบบ A มากที่สุดในทุกกลุ่มตัวอย่าง คิดเป็น 70% และเอนไซม์ *MnII* พบรูปแบบ A มากที่สุดใน 2 กลุ่มประชากร คือ กลุ่มปลาการ์ตูน อานม้าจากธรรมชาติ จ. ระยอง (NA) และจากฟาร์มเพาะเลี้ยง จ. ระยอง (RY) ในกลุ่มปลาการ์ตูน อานม้าจากฟาร์มเพาะเลี้ยง จ. ภูเก็ต (PU) พบรูปแบบ C มากที่สุด จากฟาร์มเพาะเลี้ยง จ. พังงา (PA) พบรูปแบบ D มากที่สุด และในกลุ่มที่มาจากฟาร์มเพาะเลี้ยง จ. ชลบุรี (CN) พบรูปแบบ B มากที่สุด

4.1 ความหลากหลายทางพันธุกรรมภายในกลุ่มประชากร

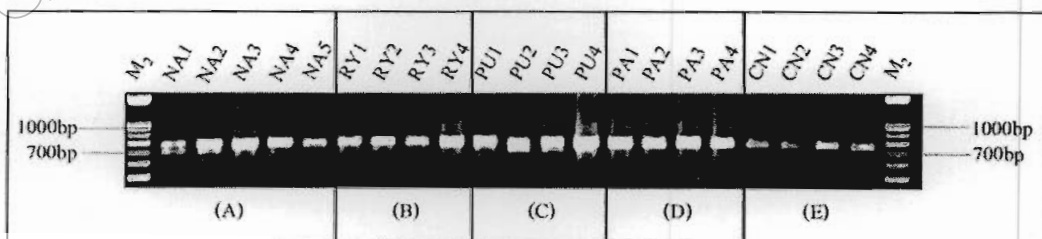
เมื่อพิจารณารูปแบบรวม composite haplotype พบทั้งหมด 31 รูปแบบ ดังแสดงในตารางที่ 4-12 และเมื่อพิจารณาข้อมูลของตัวอย่างปลาการ์ตูนอานม้าที่มาจากธรรมชาติ จ. ระยอง (NA) ฟาร์มเพาะเลี้ยงจาก จ. ระยอง จ. ภูเก็ต จ. พังงา และ จ. ชลบุรี (RY, PU, PA และ CN) สรุปได้ว่า composite haplotype ที่พบมากที่สุดในประชากรของปลาการ์ตูนอานม้าที่มาจากธรรมชาติ (NA) และจากฟาร์มเพาะเลี้ยง จ. ระยอง (RY) คือรูปแบบ AAAA (14 และ 3.33% จากตัวอย่างทั้งหมด 149 ตัวอย่างที่ทำการทดสอบ ตามลำดับ) สำหรับรูปแบบ AAAC พบมากที่สุดในตัวอย่างปลาการ์ตูนอานม้าที่มาจากฟาร์มเพาะเลี้ยง จ. ภูเก็ต (PU) ซึ่งคิดเป็น 8% รูปแบบที่พบมากที่สุดในประชากรปลาการ์ตูนอานม้าที่มาจากฟาร์มเพาะเลี้ยง จ. พังงา (PA) คือ AADD คิดเป็น 6% และรูปแบบ CAAB พบมากที่สุดในประชากรปลาการ์ตูนอานม้าที่มาจากฟาร์มเพาะเลี้ยง จ. ชลบุรี (CN) คิดเป็น 4% ผลการทดสอบ Monte Carlo Simulation (1,000 ครั้ง) เพื่อวิเคราะห์ความถี่ของ haplotype ในการแพร่กระจายระหว่างประชากร พบว่ามีความแตกต่างกันอย่างมีนัยสำคัญระหว่างประชากรทั้ง 5 แห่งที่ศึกษา ($\chi^2=121.84, P < 0.001$) และพบว่าประชากรจากฟาร์มเพาะเลี้ยง จ. พังงา มีค่า haplotype diversity มากที่สุด (0.91 ± 0.01) ส่วนประชากรจากฟาร์มเพาะเลี้ยง จ. ภูเก็ต (PU) มีค่า nucleotide diversity มากที่สุด (0.004) แสดงในตารางที่ 4-12 ประชากรในแต่ละแห่งมีค่าอยู่ในช่วง 0.000-0.004

4.2 ความหลากหลายทางพันธุกรรมระหว่างกลุ่มประชากร

จากการวิเคราะห์ Analysis of Molecular Variance (AMOVA) พบว่า Percentage of variation ระหว่างกลุ่มประชากรของปลาการ์ตูนอานม้าเท่ากับ 15.40 และภายในประชากรเท่ากับ 84.60 แสดงให้เห็นถึงความแตกต่างทางพันธุกรรมอย่างชัดเจนภายในประชากรของปลาการ์ตูนอานม้าเมื่อพิจารณาในบริเวณ ITS-1 แสดงดังตารางที่ 4-13

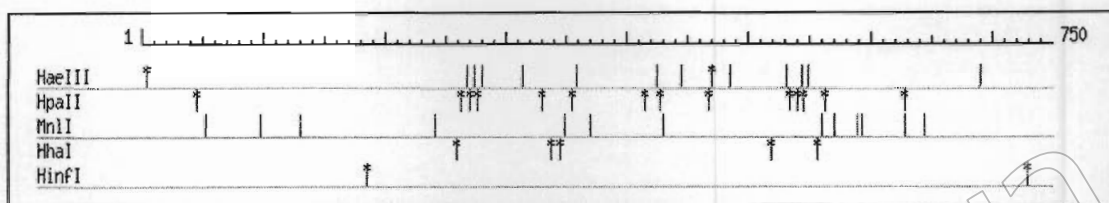
เมื่อเปรียบเทียบค่า F_{ST} ของแต่ละกลุ่มประชากรพบว่ามีค่าระหว่าง -0.010 (NA-RY; ระหว่างประชากรจากธรรมชาติกับฟาร์มเพาะเลี้ยง จ. ระยอง) ถึง 0.26 (NA-PU; ระหว่างประชากรจากธรรมชาติกับฟาร์มเพาะเลี้ยง จ. ภูเก็ต) ซึ่งมีค่าต่ำ โดยค่า F_{ST} ที่ได้แสดงว่ามีความแตกต่างทางพันธุกรรมระหว่างประชากรที่ทำการศึกษา ซึ่งแตกต่างกันมากที่สุดภายในประชากรจาก NA และจาก PU ($F_{ST}=0.26$) แสดงดังตารางที่ 4-14

เมื่อวิเคราะห์ความสัมพันธ์ระหว่างกลุ่มประชากรโดยคำนวณค่า Similarity distance ระหว่าง composite haplotype ของทั้ง 4 เอนไซม์ แสดงดังภาพที่ 4-19 พบว่าสามารถแยกกลุ่มประชากรปลาการ์ตูนอานม้า จากทั้ง 5 แหล่ง คือ จากธรรมชาติ จ. ระยอง (NA) จากฟาร์มเพาะเลี้ยง จ. ระยอง (RY) ฟาร์มเพาะเลี้ยง จ. ภูเก็ต (PU) ฟาร์มเพาะเลี้ยง จ. พังงา (PA) และฟาร์มเพาะเลี้ยง จ. ชลบุรี (CN) ออกจากกันได้ชัดเจน โดยในแต่ละกลุ่มสามารถแบ่งได้ 2 กลุ่มย่อยและพบความเหมือนของลักษณะทางพันธุกรรมภายในกลุ่มประชากรที่ระดับความเหมือน 40% และเมื่อทำการสร้างแผนโคโรแกรมจากค่า genetic distance โดยใช้โปรแกรม Phylip 3.86 พบว่า ประชากรจากฟาร์มเพาะเลี้ยง จ. ระยอง (RY) มีความใกล้เคียงกับธรรมชาติมากที่สุด (NA) รองลงมาคือ ประชากรจากฟาร์มเพาะเลี้ยง จ. ชลบุรี (CN) แยกออกจากประชากรที่มาจากฟาร์มเพาะเลี้ยง จ. ภูเก็ต (PU) และ จ. พังงา (PA) อย่างชัดเจน ดังแสดงในภาพที่ 4-20



ภาพที่ 4-17 แถบดีเอ็นเอของผลิตภัณฑ์ซีอาร์ในบริเวณ ITS-1 ขนาดประมาณ 750 คู่เบสของปลาการ์ตูนอานม้าจากธรรมชาติ (A) ฟาร์มเพาะเลี้ยงใน จ. ระยอง (B) จ. ภูเก็ต (C) จ. พังงา (D) และ จ. ชลบุรี (E) (แสดงเพียงบางตัวอย่าง)

หมายเหตุ 1, 2, 3, ... คือ ลำดับตัวอย่าง



ภาพที่ 4-18 ไดอะแกรมลำดับนิวคลีโอไทด์บริเวณ ITS-1 ของตัวแทนปลาการ์ตูนอานม้าจาก
ธรรมชาติ ขนาดประมาณ 750 คู่เบส ตัดด้วยเอนไซม์ *HaeIII*, *HpaII*, *MnlI*, *HhaI* และ
HinfI โดยใช้โปรแกรม NEBcutter 2.0 สัญลักษณ์ (|) แสดงตำแหน่งตัดของเอนไซม์

ตารางที่ 4-9 ชนิดเอนไซม์ จำนวนชิ้นดีเอ็นเอและขนาดของชิ้นดีเอ็นเอเมื่อตัดด้วยเอนไซม์โดยใช้
โปรแกรม webcutter 2.0 ของลำดับนิวคลีโอไทด์จากตัวแทนปลาการ์ตูนอานม้า
(รหัส NA31) ในบริเวณ ITS-1

| ชนิด เอนไซม์ | จำนวนชิ้น ดีเอ็นเอ | ขนาดชิ้นดีเอ็นเอ (คู่เบส) |
|-----------------|-----------------------|--|
| <i>HaeIII</i> | 15 | 264, 142, 67, 58, 47, 45, 34, 25, 20, 14, 12, 2(6) และ 2(5) |
| <i>HpaII</i> | 15 | 217, 121, 66, 65, 59, 53, 47, 40, 26, 17, 13, 8, 7, 6 และ 5 |
| <i>MnlI</i> | 14 | 130, 112, 107, 105, 60, 54, 45, 35, 32, 21, 19, 16, 10 และ 4 |
| <i>HhaI</i> | 6 | 260, 192, 173, 79, 38 และ 8 |
| <i>HinfI</i> | 3 | 544, 186 และ 20 |

ตารางที่ 4-10 รูปแบบ haplotype และขนาดชิ้นดีเอ็นเอของบริเวณ ITS-1 ที่ได้จากการตัดด้วย
เรสทริกชันเอนไซม์

| ชนิดของเอนไซม์ | รูปแบบ haplotype | ขนาดชิ้นของดีเอ็นเอ (คู่เบส) |
|----------------|------------------|-----------------------------------|
| <i>HaeIII</i> | A | 45, 70, 105, 150, 160 และ 220 |
| | B | 60, 105, 150 และ 220 |
| | C | 45, 70, 105, 160 และ 220 |
| | D | 45, 70, 105, 150 และ 220 |
| | E | 45, 70, 105, 140, 150, และ 220 |
| | F | 45, 70, 105, 200 และ 250 |
| <i>HpaII</i> | A | 45, 70, 90, 120 และ 215 |
| | B | 45, 70, 90 และ 215 |
| | C | 45, 70, 150 และ 230 |
| | D | 45, 70, 90, 120, 180 และ 215 |
| | E | 45, 70, 110 และ 215 |
| <i>MnII</i> | A | 50, 70, 90, 105, 115 และ 130 |
| | B | 50, 70, 90, 105 และ 130 |
| | C | 50, 70, 90, 105, 115, 130 และ 165 |
| | D | 50, 70, 90, 105, 115, 130 และ 190 |
| | E | 50, 70, 105 และ 130 |
| | F | 50, 70, 90, 105 และ 190 |
| <i>HhaI</i> | A | 40, 70, 175, 190 และ 205 |
| | B | 40, 70 และ 175 |
| | C | 40, 70, 175 และ 205 |
| <i>HinfI</i> | A | 180 และ 550 |

ตารางที่ 4-11 ความถี่ของรูปแบบ haplotype ภายหลังจากตัดด้วยเอนไซม์บริเวณ ITS-1 ของประชากรปลาการ์ตูนอานม้าจากแหล่งต่าง ๆ

| ชนิดของ เอนไซม์ | รูปแบบ haplotype | % ความถี่ | ความถี่ของรูปแบบในแต่ละประชากร (จำนวน) | | | | |
|--------------------|---------------------|--------------|--|--------------|--------------|--------------|--------------|
| | | | NA (n=43) | RY (n=10) | PU (n=28) | PA (n=50) | CN (n=18) |
| <i>HaeIII</i> | A | 50.3 | 24 | 8 | 13 | 30 | - |
| | B | 0.006 | 1 | - | - | - | - |
| | C | 35.5 | 18 | 2 | 9 | 11 | 13 |
| | D | 5.3 | - | - | 6 | 2 | - |
| | E | 7.3 | - | - | - | 6 | 5 |
| | F | 0.006 | - | - | - | 1 | - |
| <i>HpaII</i> | A | 70.4 | 39 | 10 | 19 | 22 | 15 |
| | B | 8.7 | 4 | - | 9 | - | - |
| | C | 3.3 | - | - | - | 5 | - |
| | D | 12.7 | - | - | - | 16 | 3 |
| | E | 4.0 | - | - | - | 6 | - |
| <i>MnII</i> | A | 45.6 | 36 | 7 | 1 | 17 | 7 |
| | B | 22.1 | 7 | 3 | 8 | 4 | 11 |
| | C | 12.7 | - | - | 19 | - | - |
| | D | 12.0 | - | - | - | 18 | - |
| | E | 5.3 | - | - | - | 8 | - |
| | F | 2.0 | - | - | - | 3 | - |
| <i>HhaI</i> | A | 76.5 | 36 | 9 | 19 | 36 | 14 |
| | B | 18.7 | 1 | 1 | 9 | 13 | 4 |
| | C | 4.6 | 6 | - | - | 1 | - |

หมายเหตุ NA= ธรรมชาติ จ. ระยอง, RY=ฟาร์มเพาะเลี้ยง จ. ระยอง, PU=ฟาร์มเพาะเลี้ยง จ. ภูเก็ต, PA=ฟาร์มเพาะเลี้ยง จ. พังงา และ CN=ฟาร์มเพาะเลี้ยง จ. ชลบุรี

ตารางที่ 4-12 ความถี่ของ composite haplotype, haplotype diversity และ nucleotide diversity
บริเวณ ITS-1 ภายในประชากรปลาการ์ตูนอานม้าจากแหล่งต่าง ๆ

| Haplotype | Composite haplotype | แหล่งตัวอย่าง | | | | |
|------------|---------------------|---------------|----|----|----|----|
| | | NA | RY | PU | PA | CN |
| <i>g1</i> | AAAA | 25 | 5 | 1 | 6 | |
| <i>g2</i> | BAAA | 1 | | | | |
| <i>g3</i> | CAAA | 10 | 1 | | | |
| <i>g4</i> | CBAA | 1 | 1 | | | |
| <i>g5</i> | CCAA | 2 | | | | |
| <i>g6</i> | CCBB | 2 | | | | |
| <i>g7</i> | CBBB | 2 | | | | |
| <i>g8</i> | AAAB | | 3 | | | |
| <i>g9</i> | AAAC | | | 12 | | |
| <i>g10</i> | DAAC | | | 6 | | |
| <i>g11</i> | CADA | | | | | 3 |
| <i>g12</i> | CBCC | | | 1 | | |
| <i>g13</i> | CBCB | | | 8 | | |
| <i>g14</i> | AADD | | | | 9 | |
| <i>g15</i> | AAAD | | | | 6 | |
| <i>g16</i> | CBAB | | | | 1 | |
| <i>g17</i> | CBDA | | | | 1 | |
| <i>g18</i> | AADA | | | | 4 | |
| <i>g19</i> | CBCE | | | | 4 | |
| <i>g20</i> | FCDF | | | | 1 | |
| <i>g21</i> | AADF | | | | 2 | |
| <i>g22</i> | DAAD | | | | 2 | |
| <i>g23</i> | EAAD | | | | 1 | |
| <i>g24</i> | EAAA | | | | 6 | 4 |
| <i>g25</i> | ABCB | | | | 1 | |
| <i>g26</i> | EAAB | | | | | 1 |
| <i>g27</i> | CBAB | | | | | 3 |
| <i>g28</i> | CAAB | | | | | 6 |
| <i>g29</i> | ABAB | | | | | 1 |
| <i>g30</i> | CBEB | | | | 2 | |
| <i>g31</i> | CBEE | | | | 4 | |
| | N | 43 | 10 | 28 | 50 | 18 |

ตารางที่ 4-12 (ต่อ)

| | | | | | |
|------------------------------------|-----------------|-----------------|-----------------|-----------------|-----------------|
| Haplotype diversity ($h \pm SE$) | 0.59 \pm 0.07 | 0.71 \pm 0.11 | 0.71 \pm 0.04 | 0.91 \pm 0.01 | 0.82 \pm 0.05 |
| Nucleotide diversity (π) | 0.000 | 0.000 | 0.004 | 0.001 | 0.001 |

หมายเหตุ สัญลักษณ์ที่แสดงในช่อง composite haplotype หมายถึงรูปแบบ haplotype ที่ได้จาก เอนไซม์ *Hae*III, *Hha*I, *Hpa*II และ *Mn*II ตามลำดับ

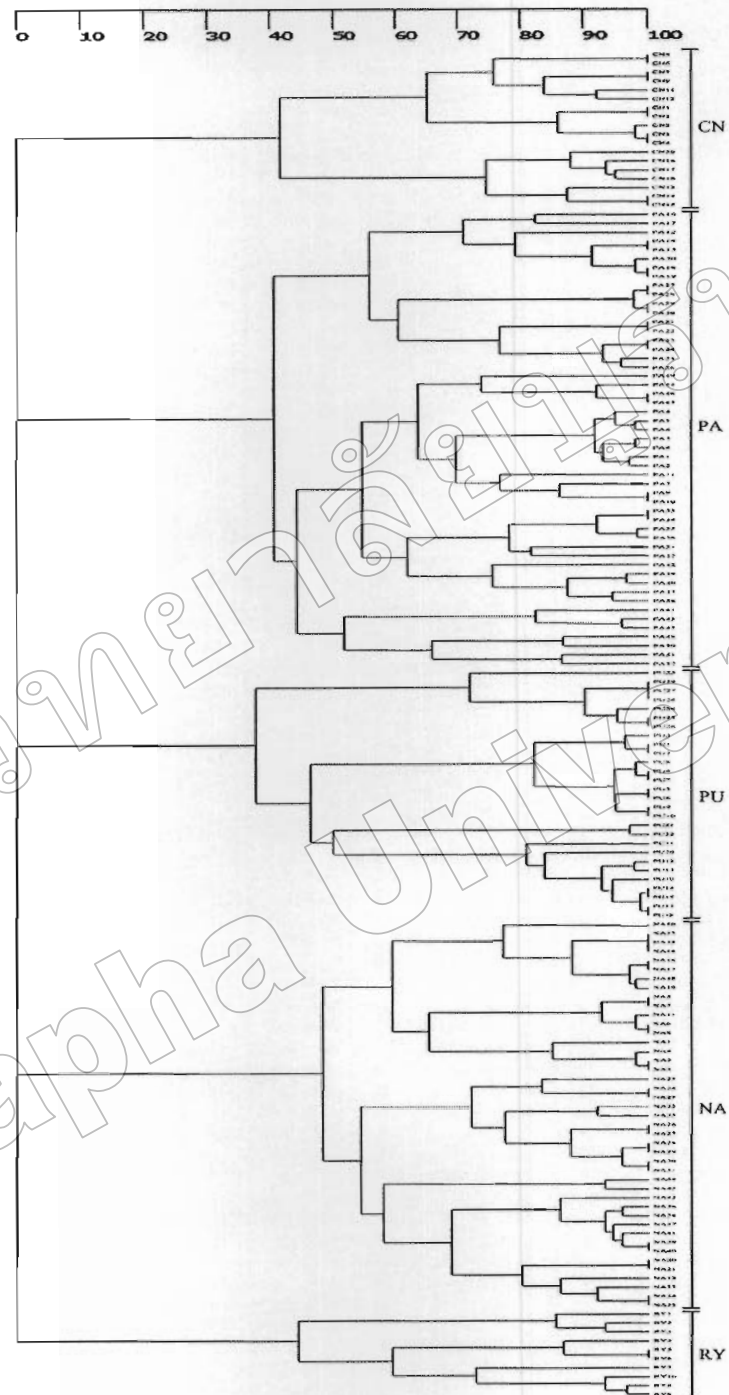
ตารางที่ 4-13 ผลการวิเคราะห์ AMOVA ในบริเวณ ITS-1 ของปลาการ์ตูนอานม้า จาก ประชากร 5 แหล่ง

| Source of variation | df | Variance components | Percentage of variation |
|---------------------|------------------------------|---------------------|-------------------------|
| Among populations | 4 | 0.3193 | 15.40 |
| Within populations | 145 | 1.7544 | 84.60 |
| Total | 149 | 2.0736 | |
| Fixation Index | $F_{ST} : 0.1539 (P < 0.05)$ | | |

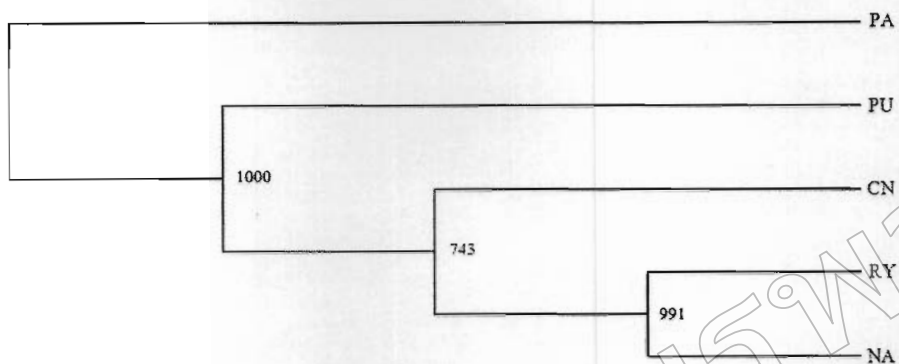
ตารางที่ 4-14 เปรียบเทียบค่า F_{ST} โดยวิเคราะห์จากบริเวณ ITS-1 ระหว่างกลุ่มประชากรของ ปลาการ์ตูนอานม้า (ครึ่งเมทริกซ์ล่าง) และ P -value (ครึ่งเมทริกซ์บน)

* แสดงระดับความนัยสำคัญที่ $p < 0.05$

| | NA | RY | PU | PA | CN |
|----|-------|-------|--------|--------|--------|
| NA | | 0.569 | 0.000* | 0.000* | 0.000* |
| RY | -0.01 | | 0.018* | 0.046* | 0.000* |
| PU | 0.26 | 0.18 | | 0.000* | 0.000* |
| PA | 0.13 | 0.07 | 0.15 | | 0.041* |
| CN | 0.17 | 0.13 | 0.22 | 0.10 | |



ภาพที่ 4-19 UPGMA dendrogram บริเวณ ITS-1 ของแต่ละประชากรปลาการ์ตูนอนม้าจากแหล่งต่าง ๆ สร้างจากโปรแกรม Gene Directory (NA; ปลาการ์ตูนอนม้าจากธรรมชาติ, RY, PU, PA, CN; ปลาการ์ตูนอนม้าจากฟาร์มเพาะเลี้ยงจาก จ.ระยอง จ.ภูเก็ต จ. พังงา และ จ. ชลบุรี ตามลำดับ)



ภาพที่ 4-20 UPGMA dendrogram บริเวณ ITS-I ของประชากรปลาการ์ตูนอนม้าจาก 5 แหล่ง
 คำนวณจาก Nei's genetic distance และ bootstrap=1,000 ครั้ง (NA; ปลาการ์ตูนอนม้า
 จากธรรมชาติ, RY, PU, PA, CN; ปลาการ์ตูนอนม้าจากฟาร์มเพาะเลี้ยงจาก
 จ.ระยอง จ.ภูเก็ต จ. พังงา และ จ. ชลบุรี ตามลำดับ

มหาวิทยาลัยบูรพา
 Burapha University